

電子線 硬化性 p-t-부틸페놀—포름알데히드 樹脂

邊衡直 · 朴完彬 · 金基燁 · 崔奎碩*

韓國原子力研究所 放射線化學研究室
*漢陽大學校 工科大學 工業化學科

(1979년 2월 2일 접수)

Electron Beam Curable p-t-Butylphenol —Formaldehyde Resin

Hyung-Chick Pyun, Wan-Bin Park, Ki-Yup Kim
and Kyu-Suck Choi*

Radiation Chemistry Laboratory, Korea Atomic Energy
Research Institute, Seoul, Korea

*Department of Industrial Chemistry, Hanyang
University, Seoul, Korea

(Received February 2, 1979)

要約: 本研究에서는 p-t-부틸페놀—포름알데히드樹脂에 메타크릴산 글리시딜을附加시켜 電子線 硬化性 prepolymer를 合成하여 電子線照射를 하였으며 또 이 prepolymer에 여러 가지의 비닐化合物들을 添加한 混合物을 電子線 照射하여 硬化시켰다.

附加에 의한 prepolymer의 合成反應은 鹽化 벤질 트리에틸 암모늄을 觸媒로 하고 溶媒 없이 進行시켰을 때 1次反應에 해당하였다. 이 prepolymer를 線量率 3 Mrad/sec에서 電子照射시킬 때 照射線量 2Mrad에서 硬化가 可能하였다.

Prepolymer에 몇 가지의 비닐化合物 30%를 添加한 混合物들을 電子線照射한 結果, 胶化速度는 메타크릴산 2-에틸헥실 < 스티렌 < 아크릴산부틸 < 아크릴산에틸의 順으로 增加하였다.

Polyethyleneglycol dimethacrylate를 prepolymer에 混合하여 電子線硬化시킬 경우, 1 Mrad의 照射線量 에서는 dimethacrylate 含量이 10%일 때 最高의 胶分率을 나타내나 線量이 增加할수록 高濃度範圍에서 나타났다. 重合度가 다른 dimethacrylate의 prepolymer와의 混合物을 電子線 照射한 結果 重合度가 增加하면 胶化速度도 增加하였다.

Abstract: In this paper electron beam-curable prepolymers were prepared by the addition reaction of p-t-butylphenol formaldehyde resin with glycidyl methacrylate, and electron beam curing was studied for the prepolymers and their mixtures of several kind of vinyl monomers. When the reaction was carried out in the presence of triethylbenzyl ammonium chloride

catalyst without solvent, the rate of the addition reaction obeyed first-order kinetics. Electron beam-curing was carried out at a dose rate of 3 Mrad/sec. It was found that the prepolymer could be cured at a dose of 2 Mrad and when the mixtures of prepolymers containing 30% monomer, the rate of gel formation increased in the order 2-ethyl hexyl methacrylate < styrene < butyl acrylate < ethyl acrylate. In the curing of the mixtures of prepolymer with polyethylene glycol dimethacrylates, maximum gel formation was observed at 10% monomer content at a dose 1 Mrad. However, maximum gel formation was observed at higher monomer content as the total dose increased. In this case the rate of gel formation increased with the increase in the degree of polymerization of the polyethylene oxide fraction of the polyethyleneglycol dimethacrylate.

緒論

前報¹에서는 폐놀-포름알데히드樹脂를 메타크릴酸 글리시딜과 反應시키고 그에 대한 電子線硬化에 대하여 報告하였다.

이 메타크릴酸 變性 폐놀-포름알데히드樹脂는 prepolymer에 많은 不飽和基의導入이可能하고 임의로官能基의濃度를 조절할 수 있는 장점을 가지고 있다. 따라서本報에서는 폐놀-포름알데히드樹脂에 비해硬化物의特性과 비닐系單位體에 대한溶解性, 油溶性等이 우월할 것으로期待되는 p-t-부틸 폐놀-포름알데히드樹脂를 메타크릴酸 글리시딜로 變性시키고 그에 대한電子線硬化에 대해서檢討하였다.

實驗

試薬 및 試料의 合成

p-t-부틸페놀 및 포름알데히드: Merck製試薬用을 각각 사용하였는데 포름알데히드의 메타놀의含有量은 10%이다.

메타크릴酸 글리시딜(GMA), 아크릴酸 에틸(EA), 스티렌(St), 아크릴酸 부틸(BA), 2-ethyl hexyl methacrylate (HEMA)는 각각 Merck製合成用試薬을 減壓蒸溜하여 사용하였다.

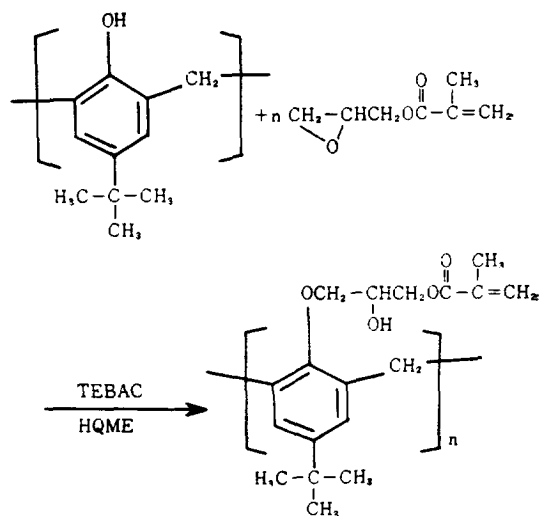
Ethyleneglycol dimethacrylate (PEGMA 1G) tetraethyleneglycol dimethacrylate (PEGMA 4G), tetradecaethylene glycol dimethacrylate (PEGMA 14G)는 日本新中村化學工業社市販品을 사용하였으며 PEGMA 1G와 PEGMA 4G는

알칼리 정제후 無水鹽化 칼슘에 乾燥시킨 후 사용하였다.

鹽化 벤질 트리에틸 암모늄(TEBAC): 鹽化벤질 3.27g, 트리에틸 아민 3.43g, 아크릴酸 에틸 1.14g, 디메틸 포름아미드 2.8g의 比로 섞어 1시간 동안 還流시킨 후 과량의 벤젠으로 셋어내어 減壓乾燥하여 사용하였다²⁾.

p-t-부틸페놀 포름알데히드樹脂의合成: 鹽酸觸媒下(pH 0.5)에서 p-t-부틸페놀과 포름알데히드의 몰비를 2:1로 하고 2시간 동안 還流시킨 후 물을 사이폰으로 除去한 다음 反應溫度를 150°C까지 上昇시켜 縮合시키고 反應終了後 다시 물을 除去한 후 사용하였다. 前報와 같은 방법으로 測定한 合成된樹脂의粘度, η_{sp}^d 는 1.968이었다.

GMA 變性 p-t-부틸페놀-포름알데히드樹脂



(prepolymer)의 合成: 溫度計, 搪拌裝置, 냉각기가 부착된 Pyrex製樹脂合成用反應器를 사용하여 恒溫水槽中에서 GMA와 HQME에 대해 1000 ppm의 hydroquinone monomethyl ether(HQME)를 넣고 100°C로 加熱한 다음 TEBAC 및樹脂를 加하여 위와 같은 反應式에 의거 合成하였다.

反應程度는 鹽化파리딘—피린딘法³으로 未反應 에폭시 含量을 測定하여 求하였다.

電子線硬化 및 照射試料의 調製: ICT型 電子加速器(300KeV, 25mA)를 사용하여 線量率 3 Mrad/sec에서 콘베어 操作으로 所要線量까지 反復照射하였고 콘베어의 속도는 1回 通過時 0.5 Mrad의 照射量이 되도록 調節하였다.

照射用試料는 미리 秤量한 50×50×0.2mm 크기의 알루미늄 板上에 樹脂液을 부어 폴리에틸렌 필름으로 덮은 다음 두께 약 0.15mm로 하였다.

질分率의 測定: 照射試料를 알루미늄 板과 함께 200 mesh stainless gauze에 싸서 過量의 메틸에틸케톤으로 48시간 끓여서 출분을抽出한 후 減壓下, 50°C에서 溶劑를 完全 除去한 후 求하였다.

實驗結果 및 考察

電子線硬化性 prepolymer의 合成

Epoxide와 페놀類와의 反應에 대해서는 L. Shechter⁴, K. Uno⁵, E. Masuhara⁶, D. R. Boyd⁷, M. Yoshino⁸, 酒井^{9, 10}等의 研究가 報告된 바 있다. 특히 L. Shechter等은 페놀과 페닐글리시딜 에테르를 KOH 觸媒存在下에서 행하고 이反應이 1次反應에 해당한다는 것을 報告한 바 있다.

여기서 前報에서와 같이 樹脂중에 포함하고 있는 水酸基와 GMA의 에폭시基의 몰比를 1.1 : 1로 하고 HQME와 전체의 1 wt. %의 TEBAC를 加하고 反應溫度를 78°C, 90°C, 100°C로 變化시키면서 反應時間에 따른 에폭시 含量의 變化를 Fig. 1에 나타내었다.

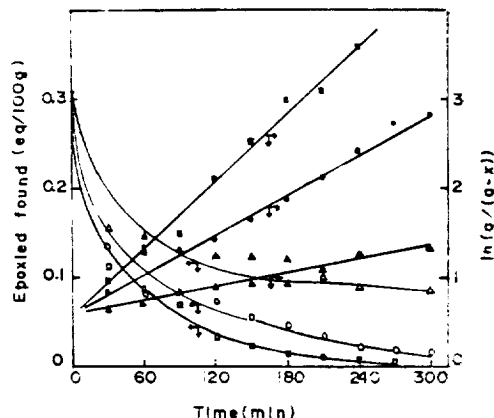


Figure 1. Reaction of phenolic resin with GMA at various temperature (\triangle : 78°C, ○: 90°C, □: 100°C). Phenolic resin: 60.2g; GMA: 47.3g, HQME: 0.047g, TEBAC: 1.075g. The black symbols designates the first order plots of the reaction for GMA.

附加反應 初期에서는 反應이 급격히 進行되어 反應溫度 100°C에서는 5시간 이내에 反應이 完結되었고 이것을 1次速度式에 의거하여 plot하면 直線關係를 나타내어 L. Shechter等의 實驗結果와 一致하였다. 각 溫度에 따른 反應速度定數는 각각 $2.54 \times 10^{-3} \text{ min}^{-1}$ (78°C), $7.30 \times 10^{-3} \text{ min}^{-1}$ (90°C), $12.59 \times 10^{-3} \text{ min}^{-1}$ (100°C) 이었고 이때의 Arrhenius plot으로부터 얻어진 活性化能ener지는 20.7kcal/mol이었다.

또한 反應溫度 90°C에서 樹脂의 水酸基와 GMA의 에폭시基의 몰比를 1.1 : 1로 하고 HQME를 加하여 觸媒인 TEBAC의 濃度를 전체의 0.5, 1, 2wt. %로 變化시키면서 反應時間에 따른 에폭시 含量의 變化를 檢討한 結果를 Fig. 2에 나타내었다.

TEBAC의 濃度가 增加함에 따라 反應速度는 빨라지며 한편 無觸媒下에서도 상당한 量의 反應이 進行됨을 알 수 있었다. 그러나 無觸媒下에서는 反應液이 不透明하여 prepolymer로서는 不適合하다고 생각되어 이것의 電子線硬化에 대해서는 取扱하지 않았다. 역시 1次速度式에 의거하여 plot하면 直線關係를 나타내며 이때의 反應速度定數는 각각 $5.14 \times 10^{-3} \text{ min}^{-1}$ (0.5%), $7.30 \times 10^{-3} \text{ min}^{-1}$ (1%), $10.79 \times 10^{-3} \text{ min}^{-1}$ (2%)이

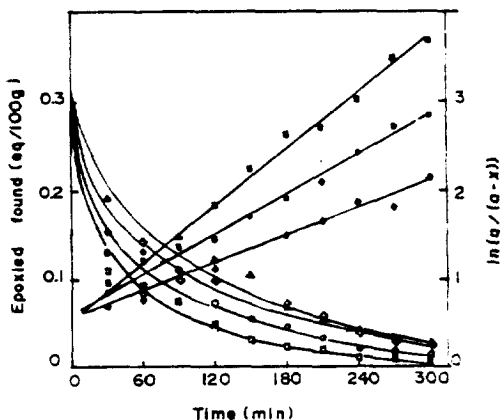


Figure 2. Reaction of phenolic resin with GMA at various catalyst concentrations at 90°C (Δ : none, \diamond : 0.5%, \circ : 1%, \square : 2%). Phenolic resin: 60.2 g, GMA: 47.3 g, HQME: 0.047 g. The black symbols designate the first order plots of the reaction for GMA.

었다.

Prepolymer와 그의 單位體 混合物의 電子線硬化

骨格中에 서로 다른 不飽和基 濃度를 갖는 prepolymer를 合成하기 위해 樹脂의 木酸基와 GMA의 에폭시基의 몰비를 각각 1.1:1 (prepolymer I) 또는 1.1:0.5 (prepolymer II)의 比로 하여 HQME을 加하고 전체의 1wt. %의 TEBAC를 加하여 100°C에서 5시간 反應시켜 얻어진 prepolymer를 電子線照射하여 Fig. 3과 같은 結果를 염었다.

Prepolymer I과 II 모두 1Mrad까지는 젤分率이 照射線量과 함께 急激히 增大하나 그 이상에서는 별로 增大하지 않으며 특히 prepolymer I의 경우 照射線量 1 Mrad 이상에서는 젤분率이 같은 照射量에 있어서 prepolymer I의 약 70%에도 미달하였다. 이것은 prepolymer 合成時에 GMA의 부족으로 附加反應이 일어나지 않은 低分子量의 樹脂의 存在는 硬化反應에 參與할 수 없다는 사실과 한편으로는 前報에서와 같이 prepolymer 중에 殘存하는 폐능性 木酸基의 重合抑制가 젤분率의 低下의 原因이 되는 것으로 想慮된다.

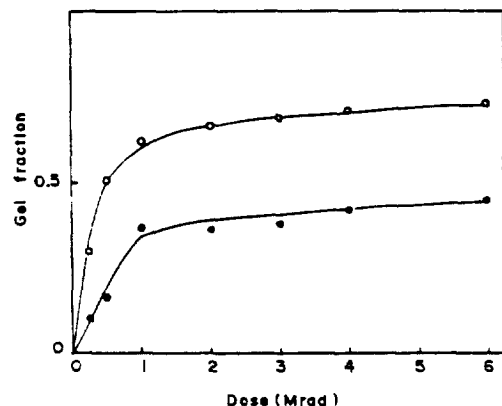


Figure 3. Gel formation as a function of dose for prepolymers. Prepolymer I (\circ): hydroxyl group/epoxy group = 1.1/1, Prepolymer II (\bullet): hydroxyl group/epoxy group = 1.1/0.5. Dose rate : 3 Mrad/sec.

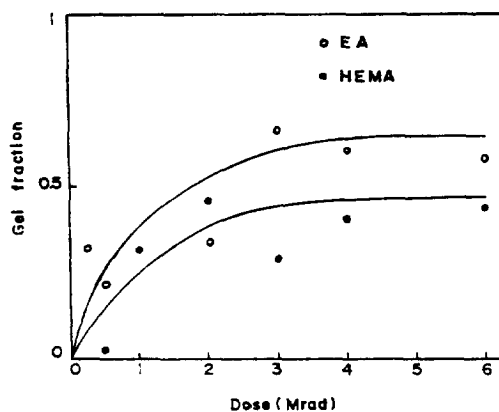


Figure 4. Gel formation as a function of dose for prepolymer II/monomer (7/3, w/w) mixtures. Prepolymer II : hydroxyl group/epoxy group = 1.1/0.5. Dose rate : 3 Mrad/sec.

Prepolymer II와 單位體로서 EA. 또는 HEMA의 7:3 混合物을 電子線照射 시킬 때 (Fig. 4) EA 경우는 prepolymer II보다 높은 젤분率을 얻을 수 있었으며 prepolymer 사이의 重合보다는 單位體와의 共重合이 容易하다는 것을 알 수 있었다. 또한 HEMA보다는 EA를 單位體로 사용 할 때가 높은 轉化率을 나타내어 EA쪽이 電子線에 대한 感受性이 높은 것을 알 수 있었다. 여기서 젤분率이 매우 畏만하게 나타난 것은 前報에서 폐능性 木酸基가 含有되어 있는

電子線硬化性 p-t-부틸페놀-포름 알데히드樹脂

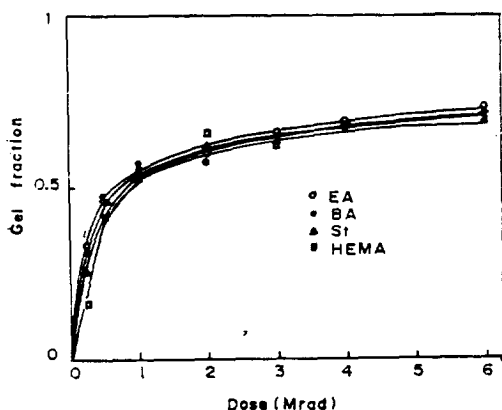


Figure 5. Electron beam curing of prepolymer I/monomer (7/3, w/w) mixtures. Prepolymer I : hydroxyl group/epoxy group = 1.1/1. Dose rate : 3 Mrad/sec.

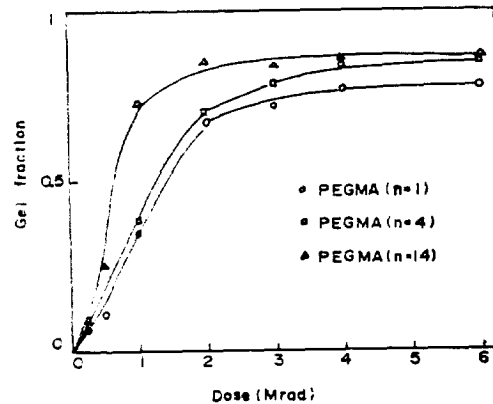


Figure 6. Electron beam curing of prepolymer I/monomer (7/3, w/w) mixture. Prepolymer I : hydroxyl group/epoxy group = 1.1/1. Dose rate : 3 Mrad/sec.

Table I. Effect of Monomer Concentration on Gel Percent in Electron Beam Curing of Prepolymer I and Monomer Mixtures. Dose Rate: 3 Mrad/rec.

Wt. ratio monomer/prepolymer	Dose (Mrad)				
		0/10	1/9	3/7	5/5
Monomer					
PEGMA (n=1)	1	62.76	65.04	34.78	18.18
	2	66.83	71.75	67.92	64.70
	3	68.14	74.25	71.42	61.29
PEGMA (n=4)	1	62.76	67.69	38.59	19.04
	2	66.83	74.19	70.37	75.00
	3	68.14	75.12	78.84	86.66
PEGMA (n=14)	1	62.76	72.03	73.48	—
	2	66.83	76.21	85.07	74.54
	3	68.14	78.24	82.60	86.27

prepolymer와 單位體混合物의 電子線硬化時의結果와 같이 残存하는 페놀性水酸基의重合抑制에 의한 것으로推測되나 확실한 것은 檢討치못하였다.

Prepolymer I과 각종 비닐系單位體를重量比로 7:3으로一定하게混合物을 만들고 電子線照射하여 각混合物의反應性에 대해서檢討하였다(Fig. 5).

겔化速度는 prepolymer單獨의照射時와比較할때 뚜렷한 差異는 없고 低線量에서는 EA>BA>St>HEMA順으로 빠름을 알 수 있었는데 이

것은 Gotoda等¹¹의 epoxy acrylate와 單位體混合物의 電子線硬化時와 같은結果이다.

한편 單位體로서 PEGMA 1G, 4G, 14G 즉分子內의 polyethyleneglycol의重合度가 1, 4, 14인것을 각각 prepolymer I과 7:3混合物을電子線照射시켰을 때(Fig. 6) prepolymer單獨의照射時보다는 低線量에서는 겔化速度가 높으나(Fig. 3参照)高線量에서는 prepolymer보다 높은 겔분率를 얻을 수 있었으며 polyethyleneglycol의重合度가增加할수록 겔化速度는增加하는倾向을 나타내어前報¹² 또는 PEGMA單獨의電子線

照射에서 얻은結果¹³와 같았다. 여기서 prepolymer I과 PEGMA의混合比率은重量比이므로 PEGMA의重合度가增加할수록全體의不飽和基濃度가減少함에도 불구하고 빠른겔화速度를나타내는것을보면不飽和基濃度보다는重合度가커짐에따라混合物全體의粘度가增加하므로이에대한질效果가겔화速度에더큰因子가됨을推則할수있었다.

單位體와 prepolymer I의混合比率를變化시켜면서PEGMA의重合度에따라각각1,2,3Mrad를電子線照射시켰을때의結果는Table I과같다.

대체적인傾向을보면低線量에서는單位體와 prepolymer I의比가1:9일때最大의겔分率을나타내고있고單位體의濃度가增加할수록겔分率이減少됨을알수있었다.따라서低線量에서는prepolymer間의重合보다는PEGMA와의共重合이容易하다는것을나타내며高單位體濃度部分에서는不飽和폴리에스테르¹⁴의電子線硬化時와같이溶液의粘度減少에의한겔分率의低下로생각된다.

그러나高線量에서는이와반대로單位體의濃度가클수록겔分率이增加함을알수있었는데이것은prepolymer間의重合또는prepolymer와單位體와의共重合과더불어디비닐化合物인單位體間의重合이일어나는데起因되는것으로생각된다.한편同一濃度에서는照射線量이增加하면겔分率이增加하며同一線量에서는PEGMA의重合度가increase할수록높은겔分率을나타내었다.

引用文獻

1. 邊衡直等, 本誌, 3, 136 (1979).
2. Japan Pat., 21, 022 (1966).
3. R. E. Burge, Jr. and B. P. Geyer, "High Polymers", Vol. 12, Part. 1, 139, Gordon M. Kline, Interscience Publishers Inc, N. Y., U.S.A., (1963).
4. L. Shechter et al., Ind. Eng. Chem., 48, 86 (1956).
5. K. Uno et al., J. Polymer Sci., Part A-1, 5, 2311 (1967).
6. E. Masuhara et al., Youki Kosei Kagaku Kyokaishi 33, 52 (1975).
7. D. R. Boyd and E. R. Marle, J. Chem. Soc., 105, 2117 (1914).
8. M. Yoshino et al., J. Paint Technol., 44, 116 (1972).
9. S. Sakai et al., Kogyo Kagaku Zasshi, 66, 51 (1963).
10. S. Sakai et al., Kogyo Kagaku Zasshi, 66, 355 (1963).
11. M. Gotoda et. al., JAERI Report, 5029, 114 (1974).
12. 邊衡直等, 大韓化學會誌, 21, 284 (1977).
13. T. Okada et al., JAERI Report, 5030, 77 (1975).
14. A. S. Hoffman et al., Ind. Eng. Chem. Prod. Res. Develop., 9, 158 (1970).